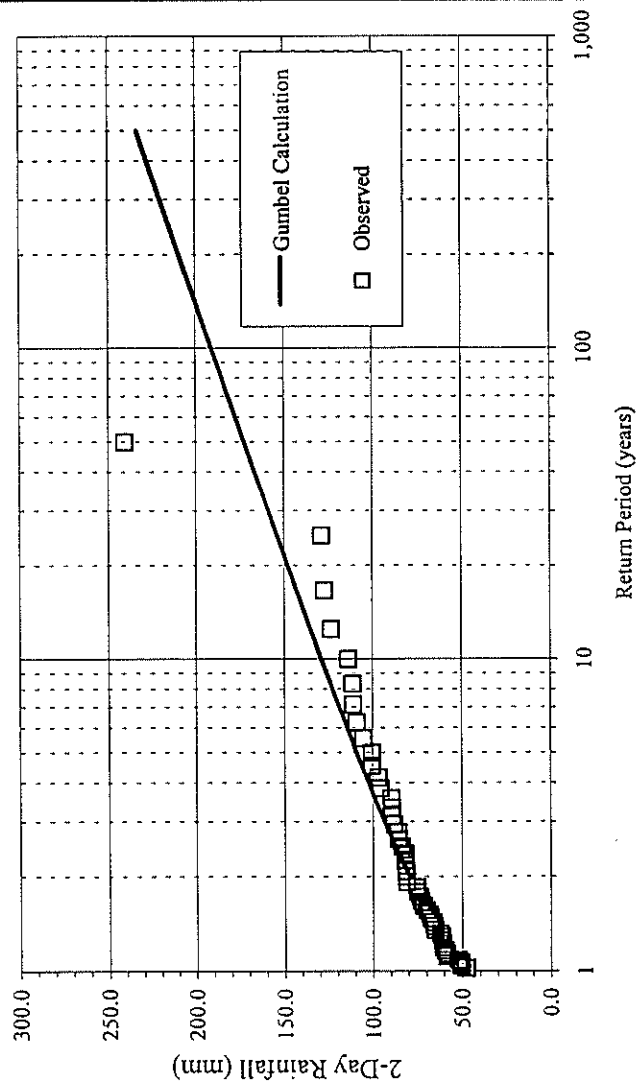


Maximum 2-Day Rainfall and Return Period at Toncontin Station
(Data from 1951 to 1999)



Return Period (year)	2-Day Rainfall (mm)
500	233
400	227
300	220
250	215
200	209
150	202
100	191
80	185
60	177
50	172
40	167
30	159
25	154
20	148
15	140
10	129
9	126
8	123
7	119
6	115
5	109
4	103
3	93
2	79

Figura 2.19

Precipitación Máxima de 2-Días y Periodo de Retorno en la Estación Toncontin.

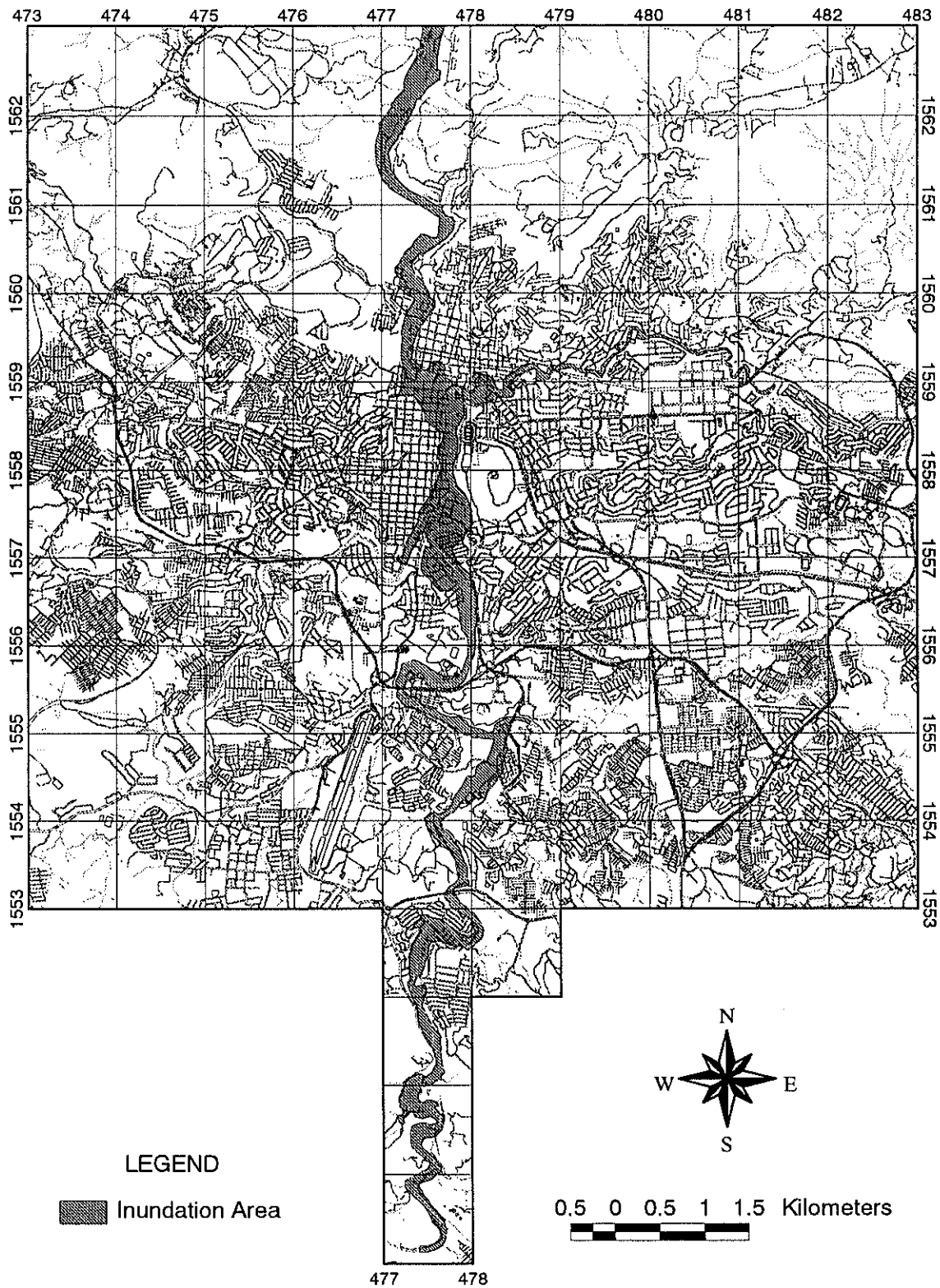


Figura 2.20

Resultados del Estudio de Marca de Agua Alta



Figura 2.21

Ubicación de Secciones Transversales del Río en el Area Central

Comparison of Cross Sections at Berinche in 1996 and 2001

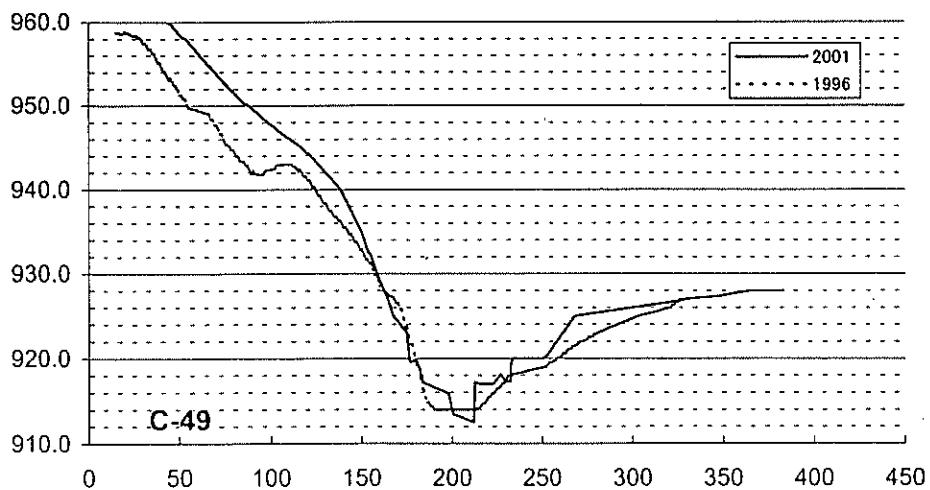
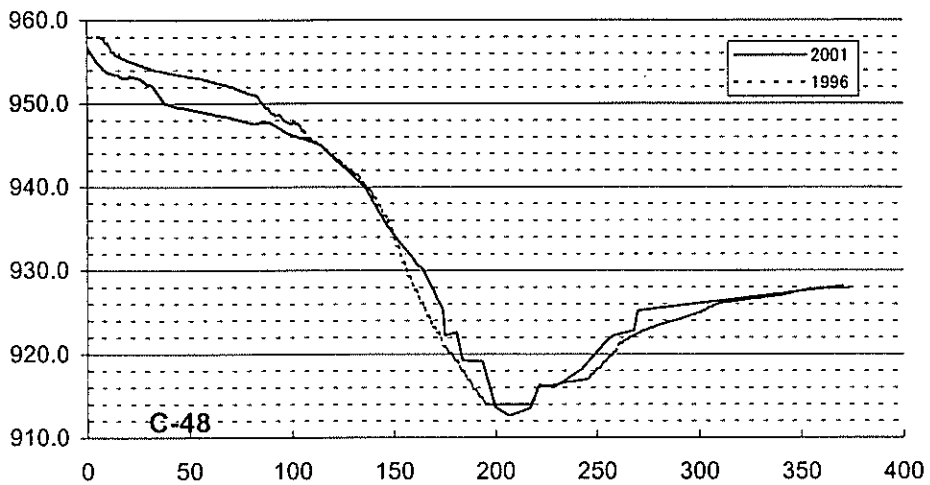
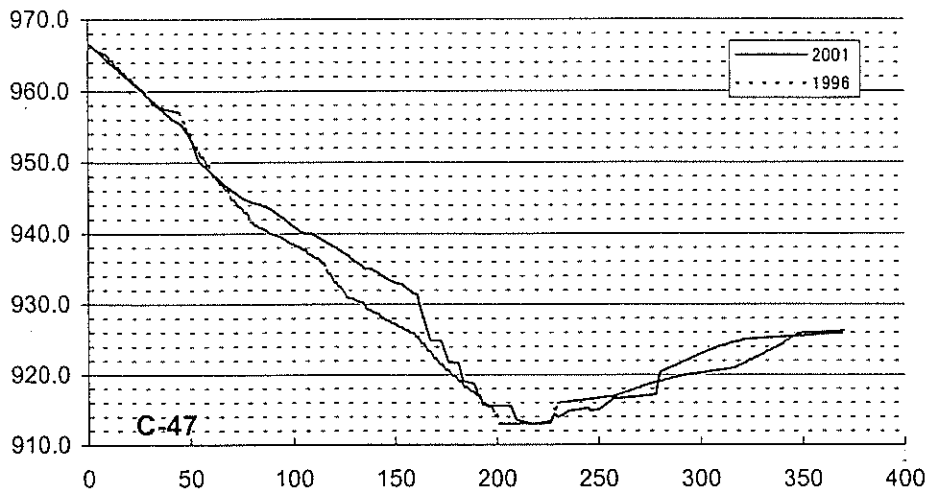


Figura 2.22 (1)

Comparación de Secciones Transversales en Berrinche en 1996 y 2001

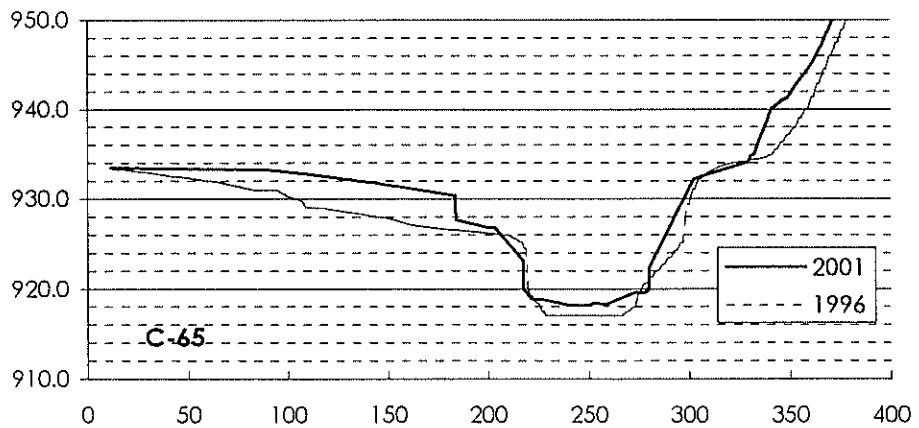
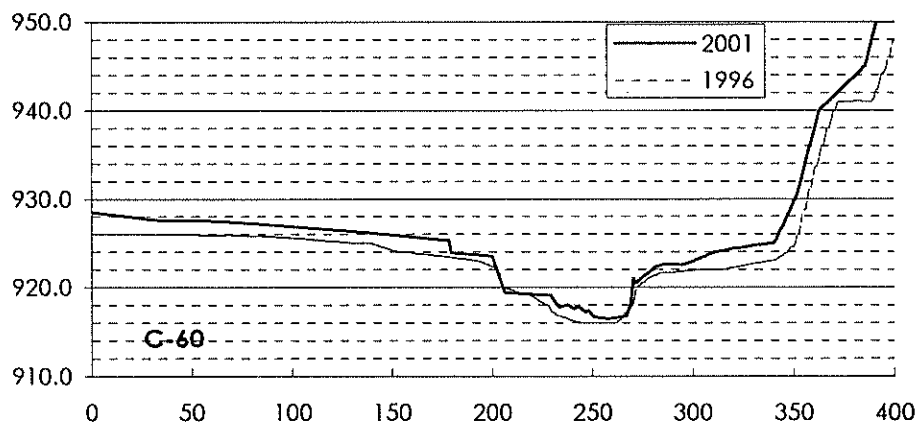
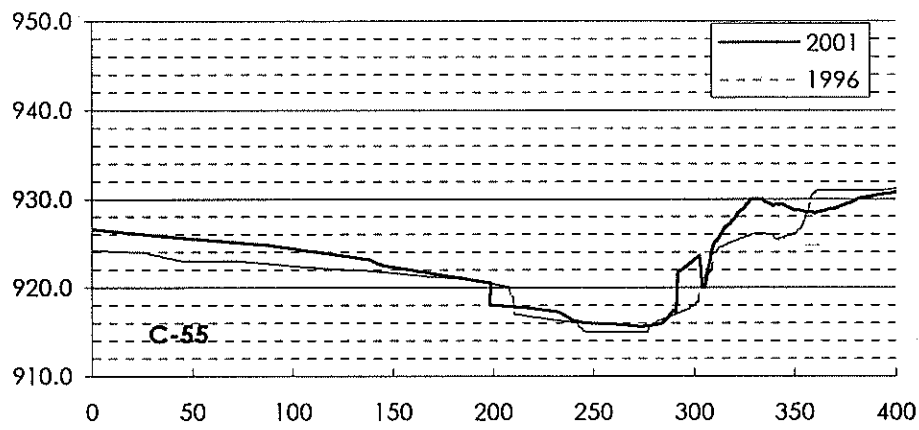
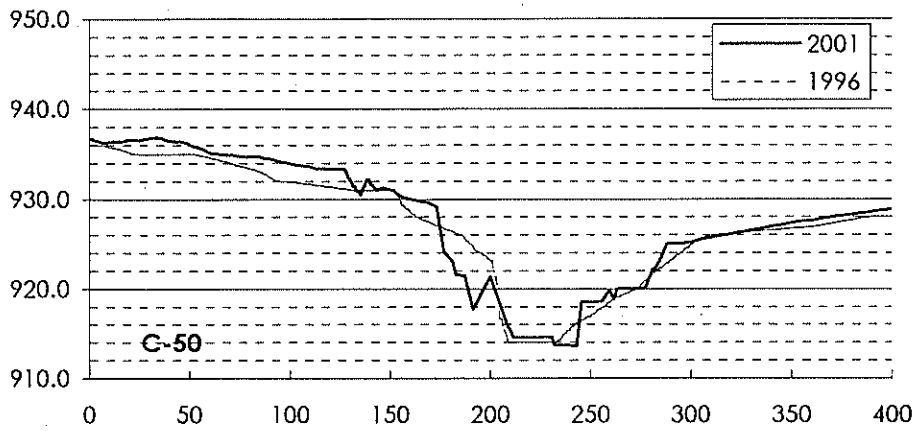


Figura 2.22 (2)

Comparación de Secciones Transversales en 1996 y 2001

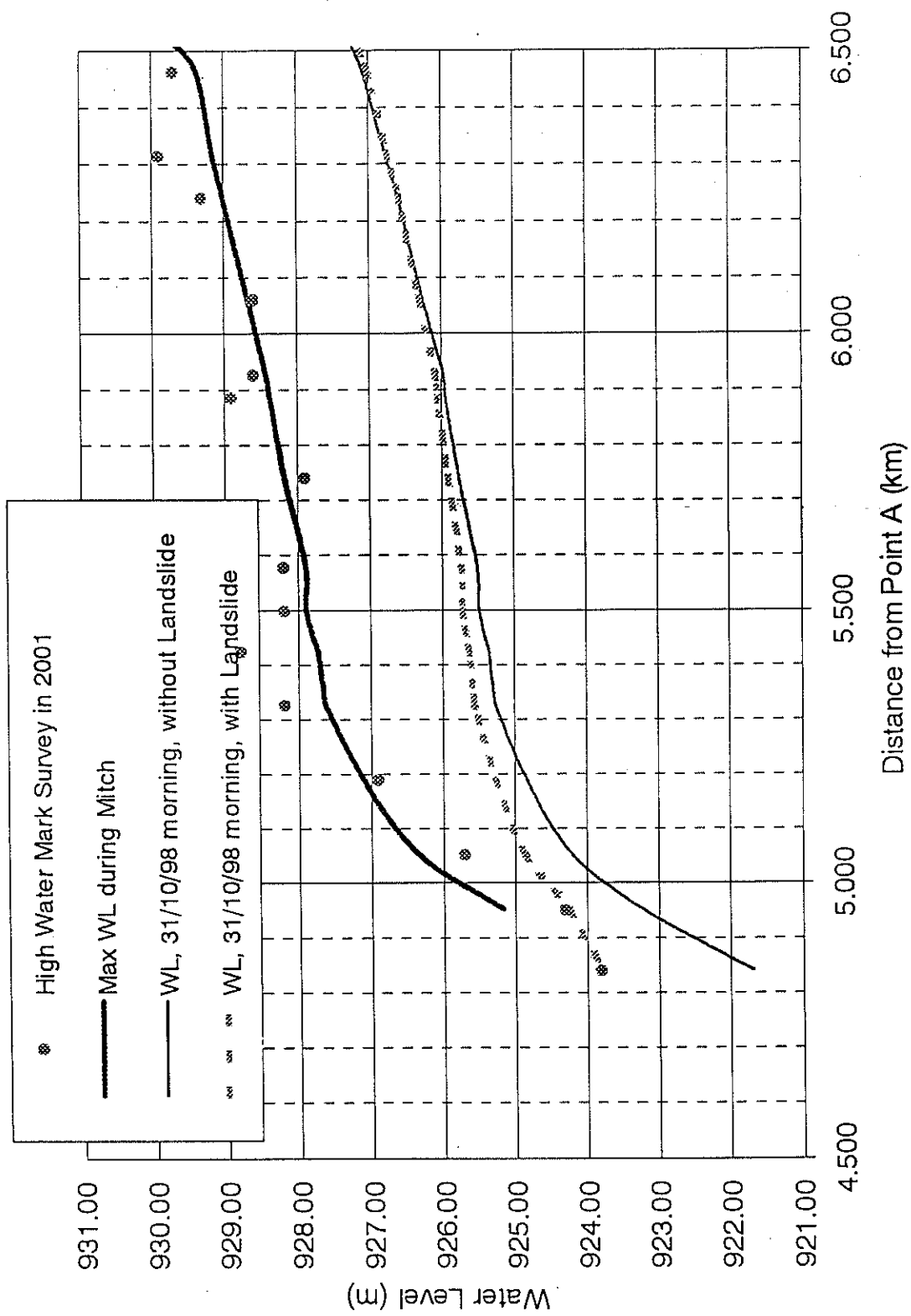


Figura 2.23

Nivel de Agua en el Río Choluteca durante el Huracán Mitch Luego del Deslizamiento de Berrinche (Oct. 31, 1998, 6:00)

Water Level in the Upstream
(At Section C195, Chainage 403 m)

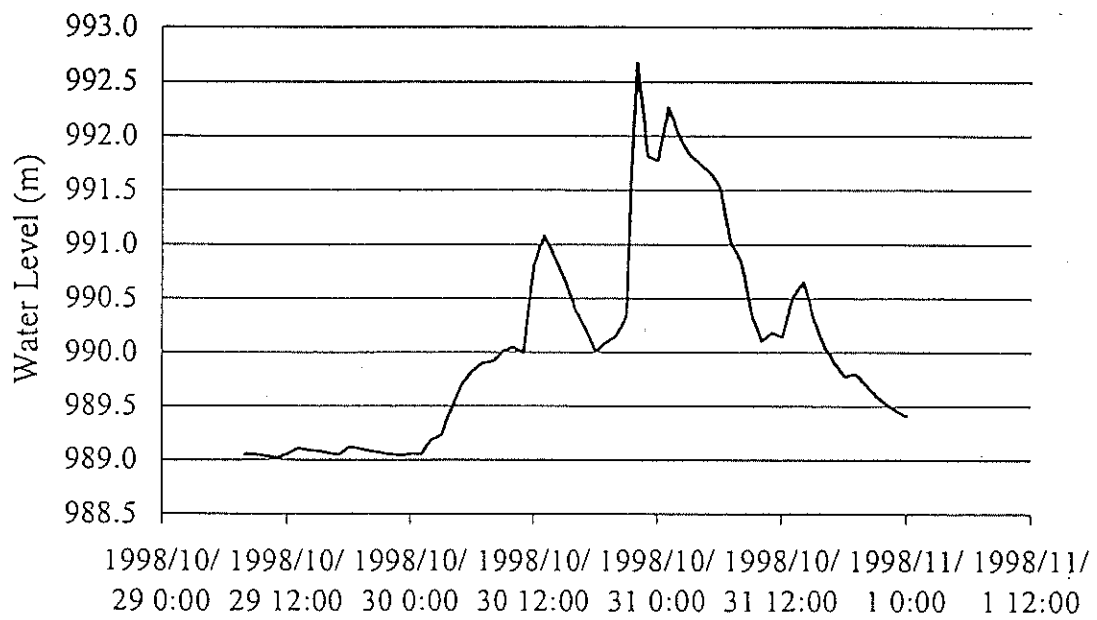


Figura 2.24

Nivel de Agua en el Curso Arriba

Water Level in the Downstream
 (At Section C115, Chainage 7,563 m)

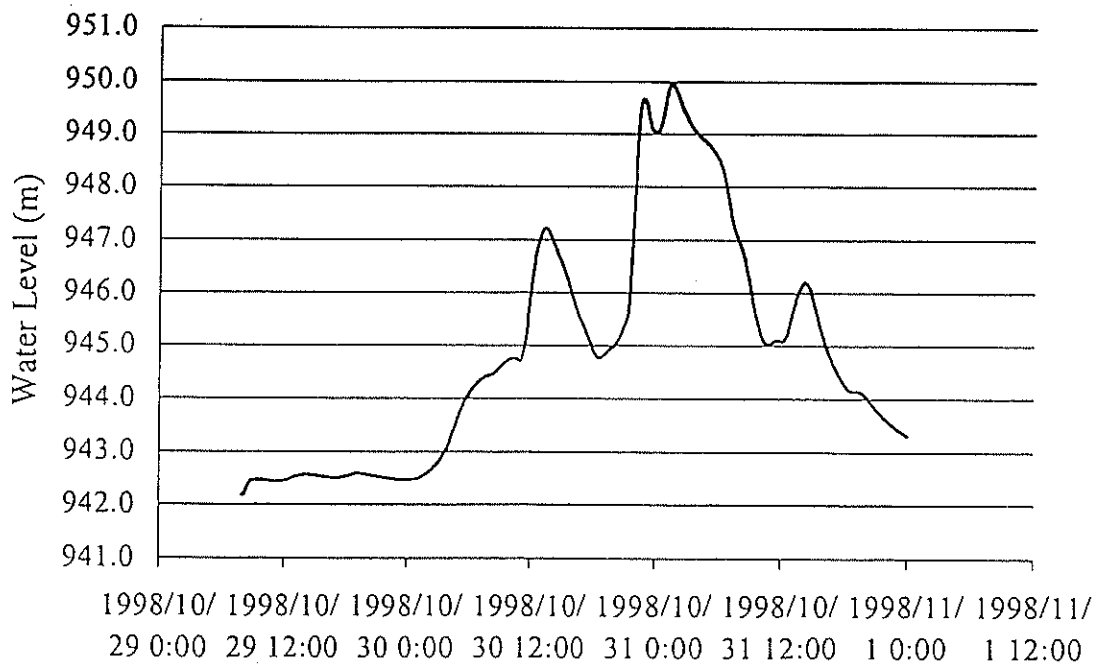


Figura 2.25

Nivel de Agua en el Curso Abajo

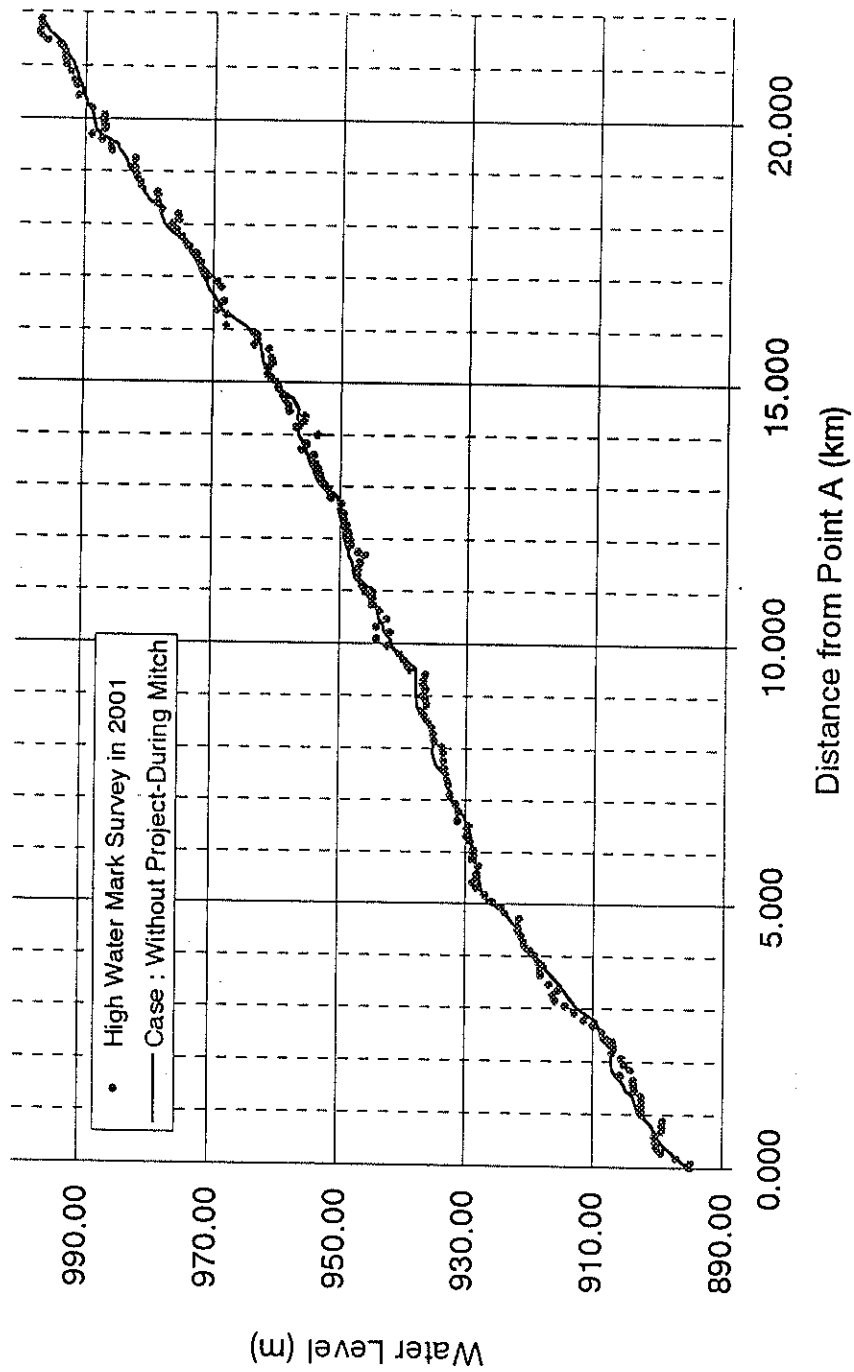


Figura 2.26

Smulación de Nivel de Agua en el Río Choluteca durante el Huracán Mitch y Resultados del Estudio de Marca de Agua Alta

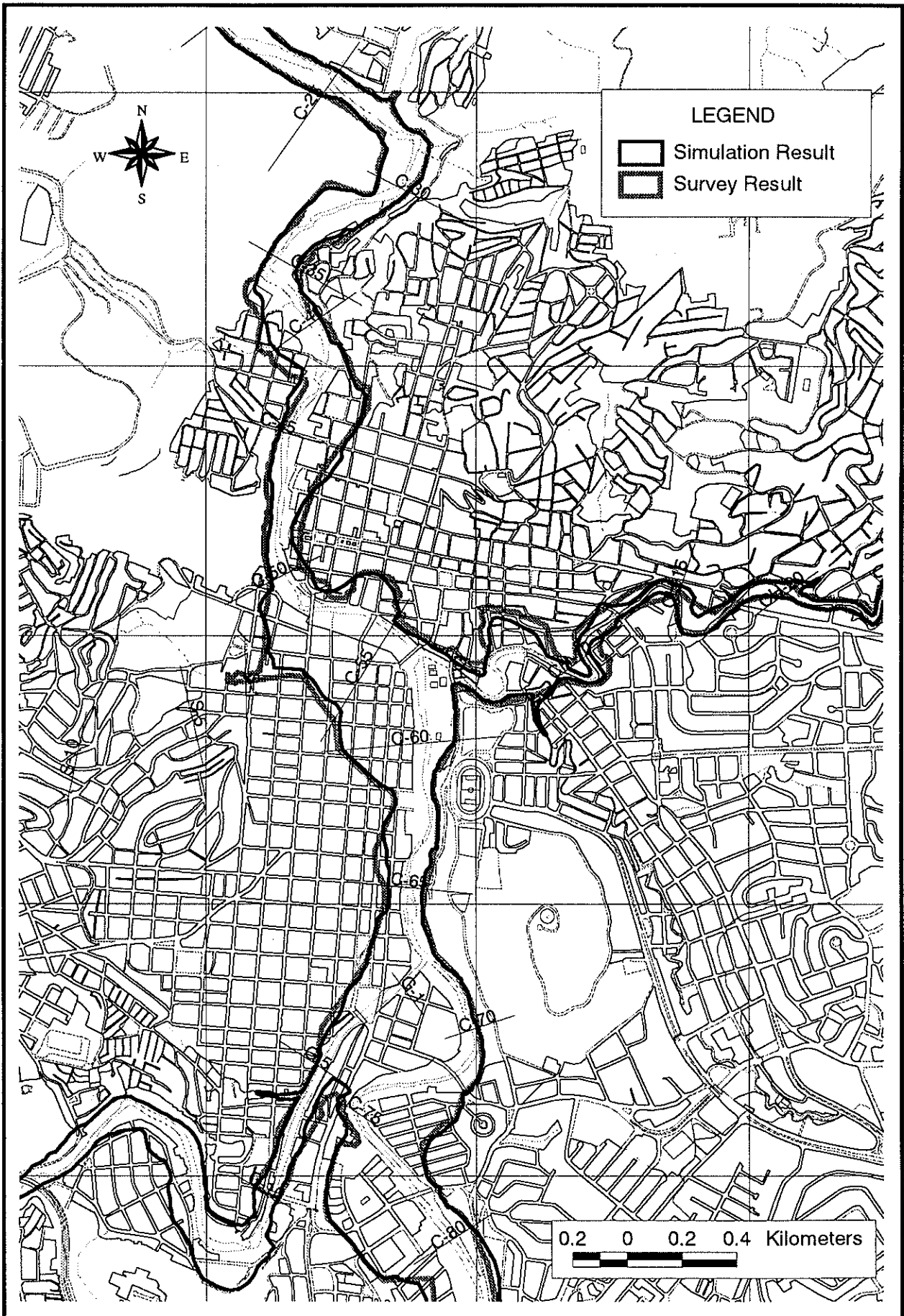


Figura 2.27

Comparación de Area de Inundación de Mitch

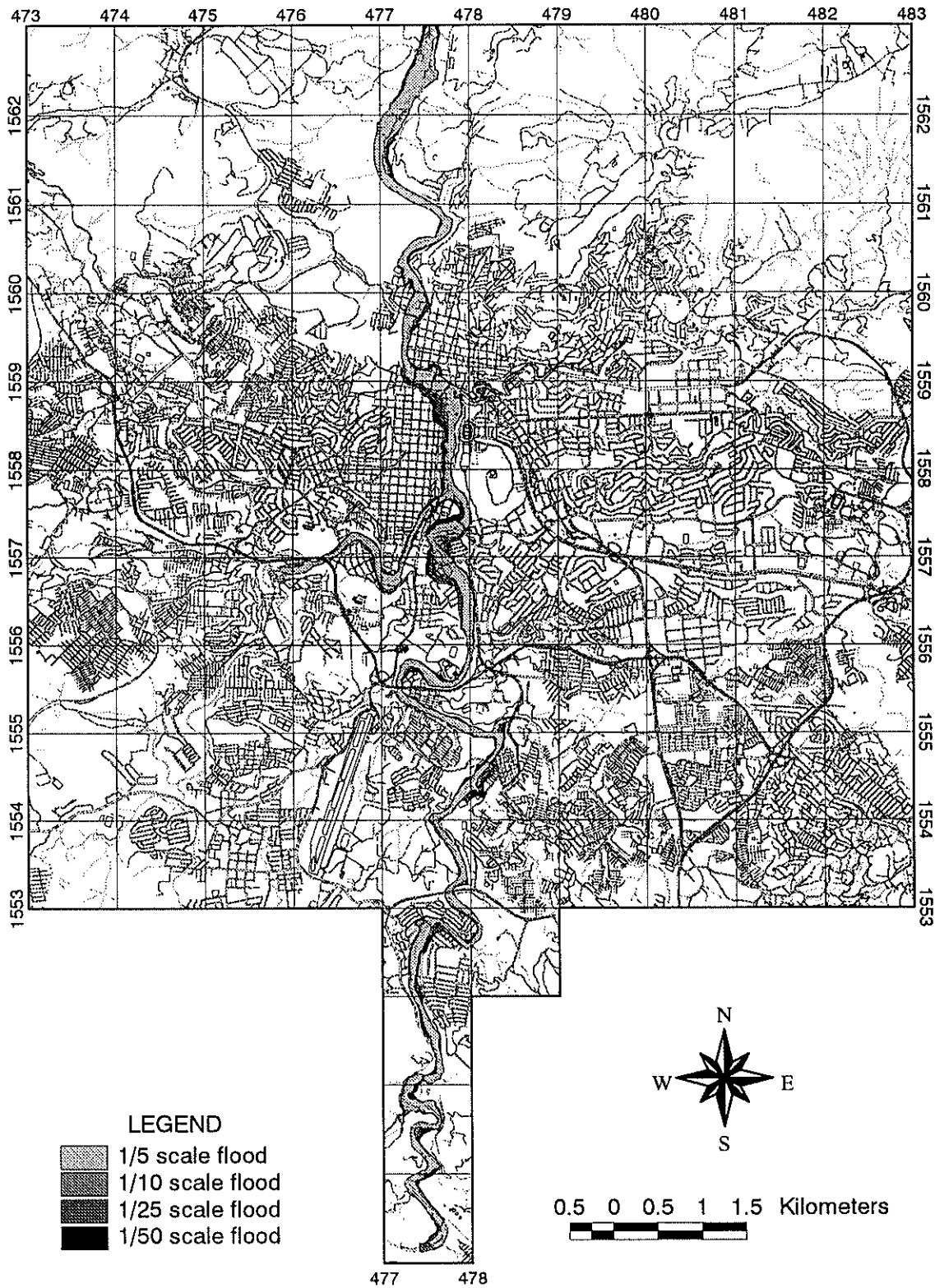


Figura 2.28 (1)

Mapa de Amenaza (Mapa de Area de inundación) (1/2)

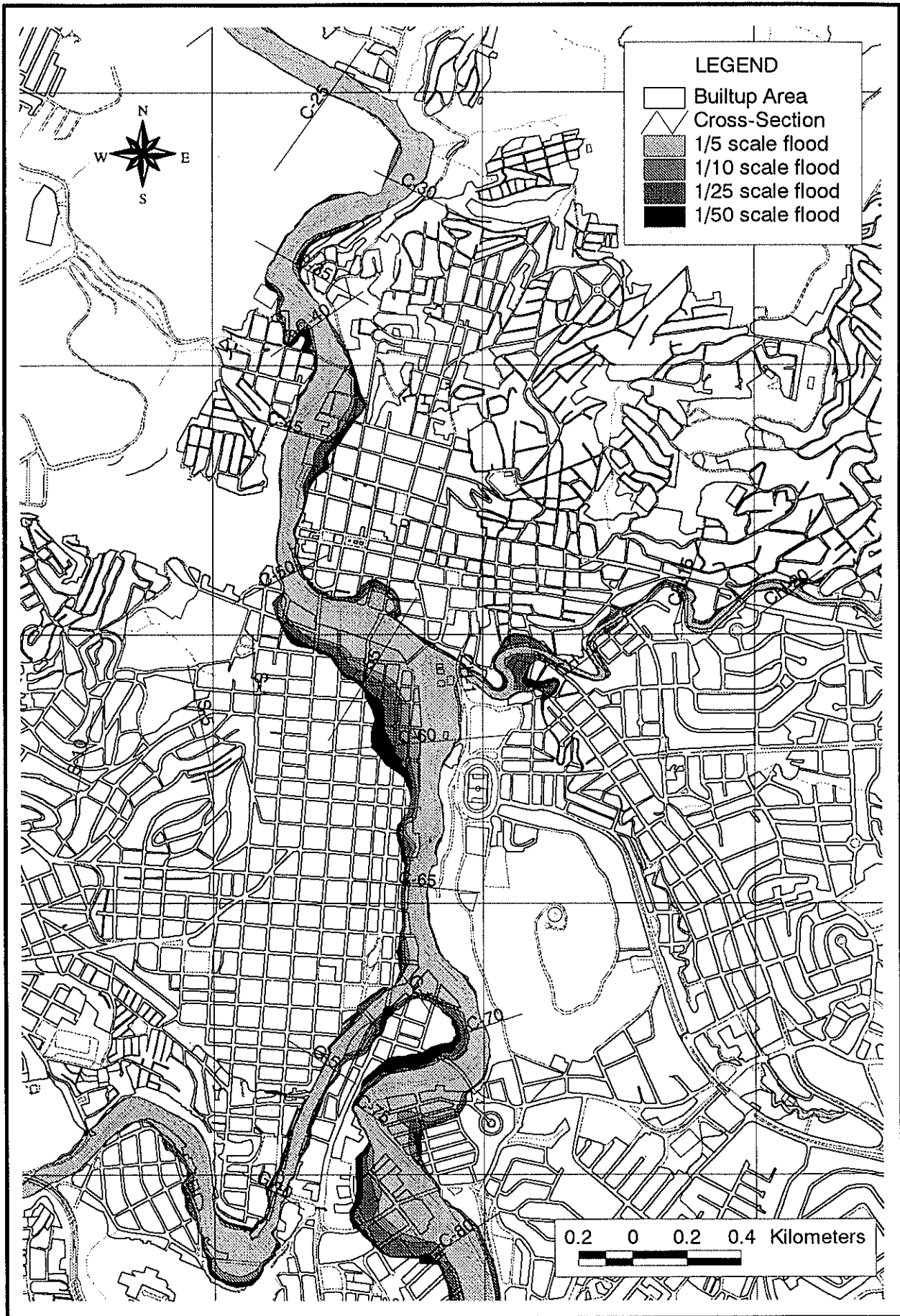


Figura 2.28 (2)

Mapa de Amenaza (Mapa de Area de Inundación) {2/2}

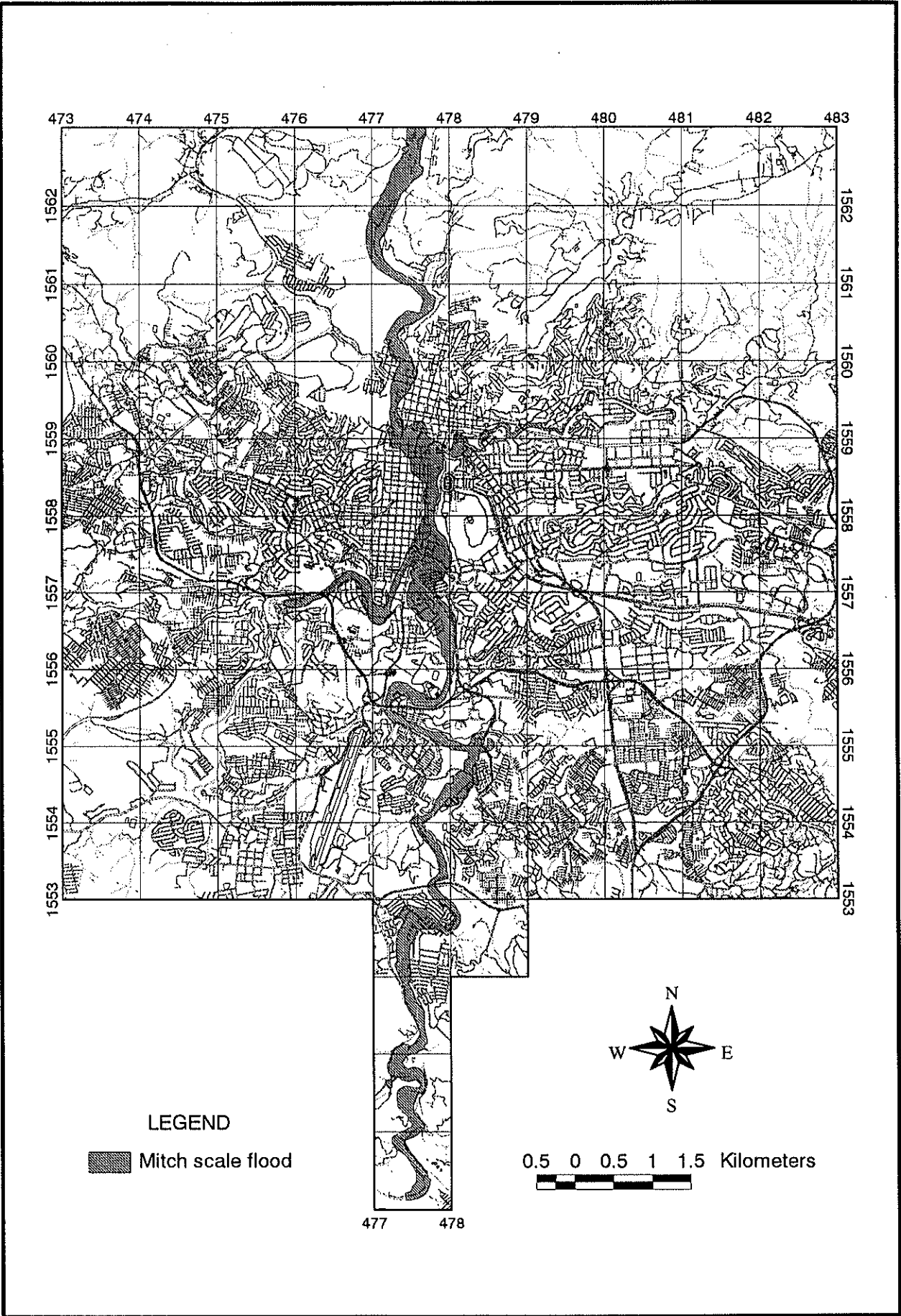


Figura 2.29 (1)

Mapa de Amenaza
(Mapa de Area de Inundación con escala de Mitch) (1/2)

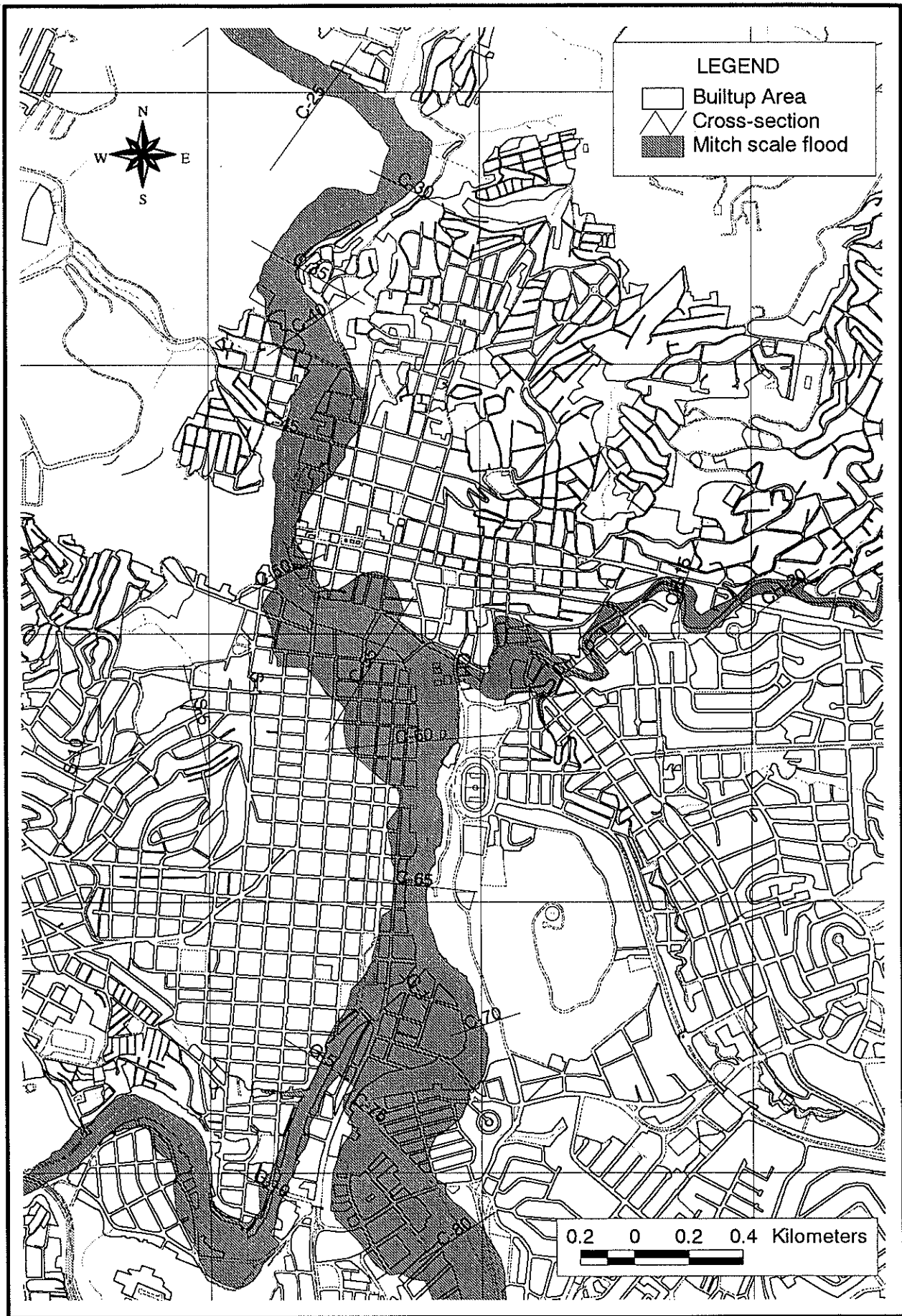


Figura 2.29 (2) **Mapa de Amenaza**
(Mapa de Area de Inundación con escala de Mitch) (2/2)

Sediment Load ($Q=1,000\text{m}^3/\text{s}$)

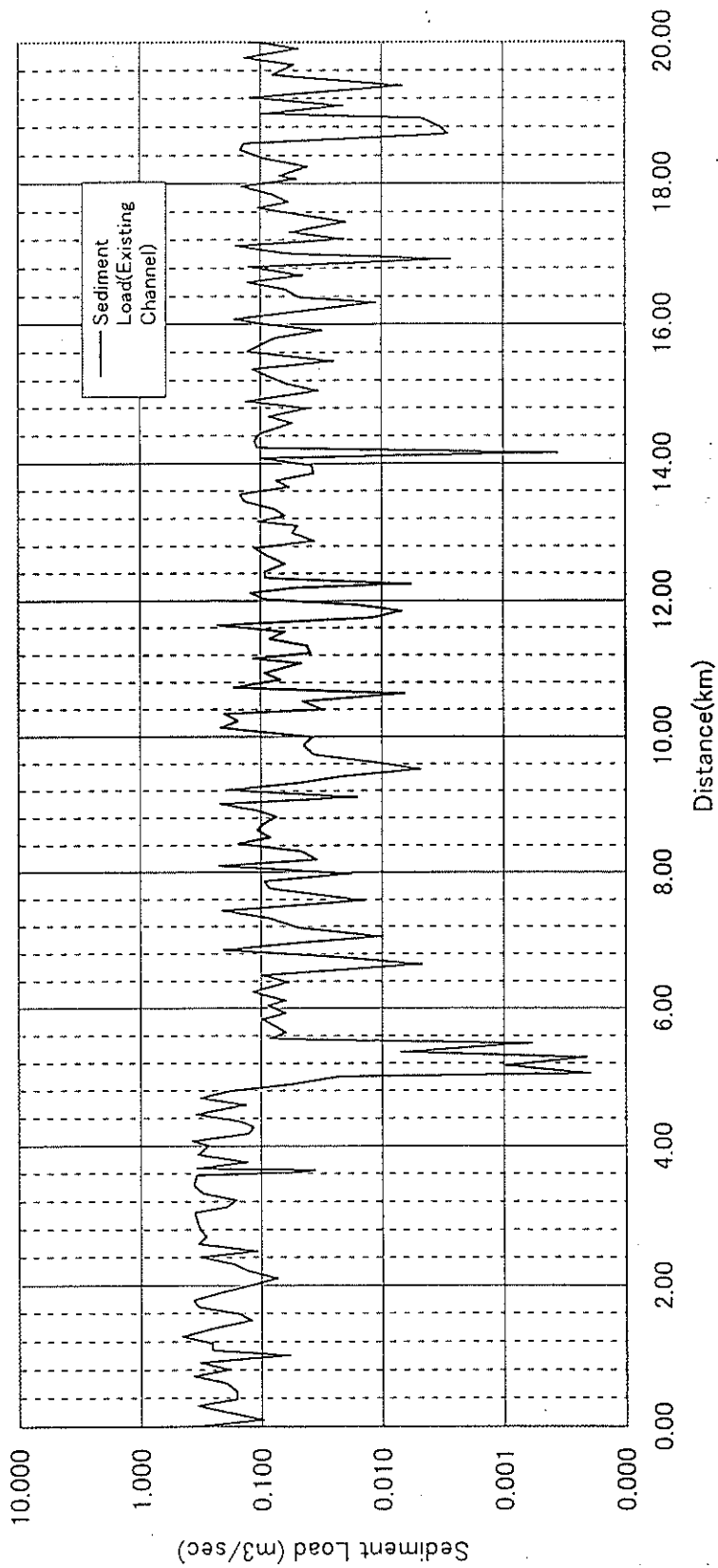


Figura 2.30

Capacidad de Transporte de Sedimentos del Actual Río

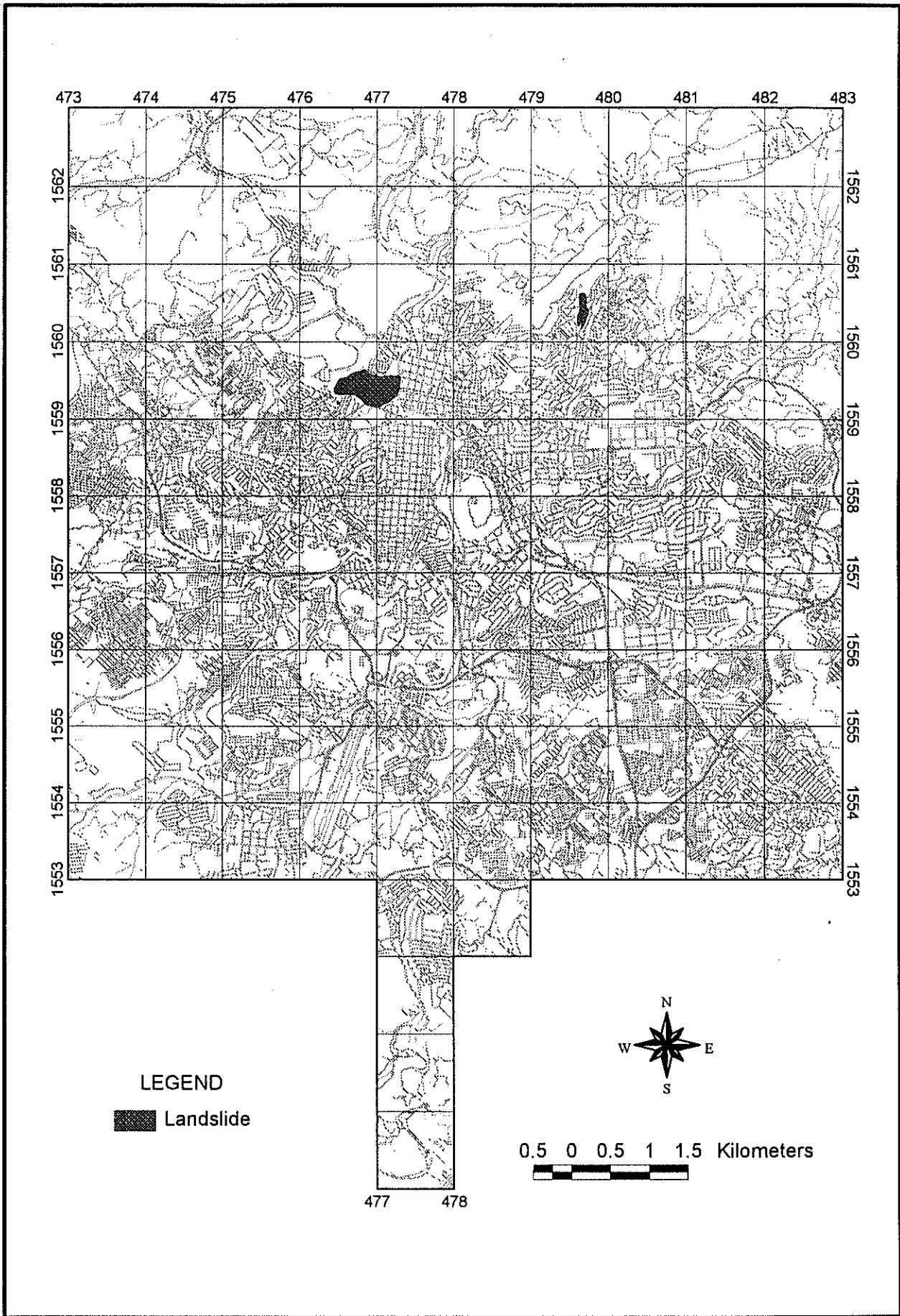
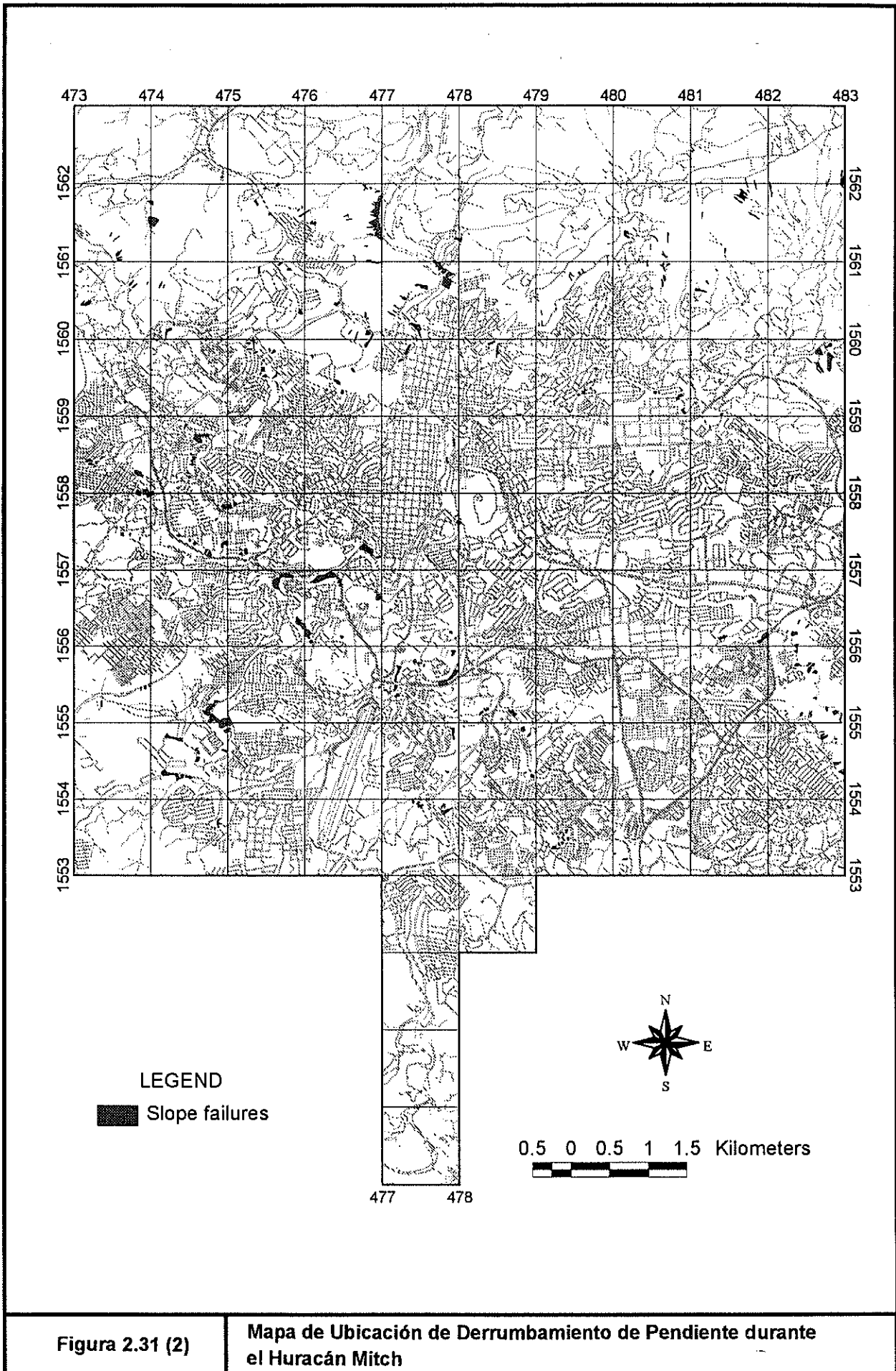
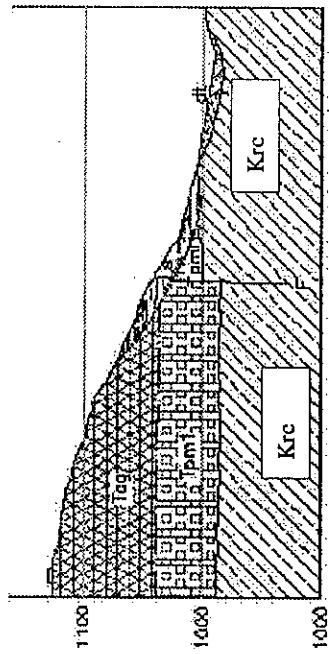


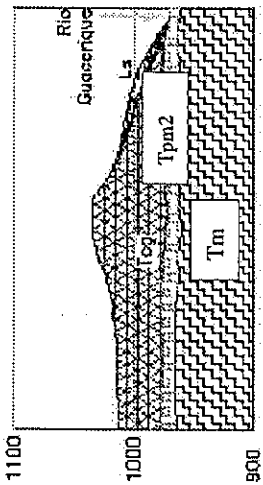
Figura 2.31 (1)

Mapa de Ubicación de Deslizamiento durante el Huracán Mitch

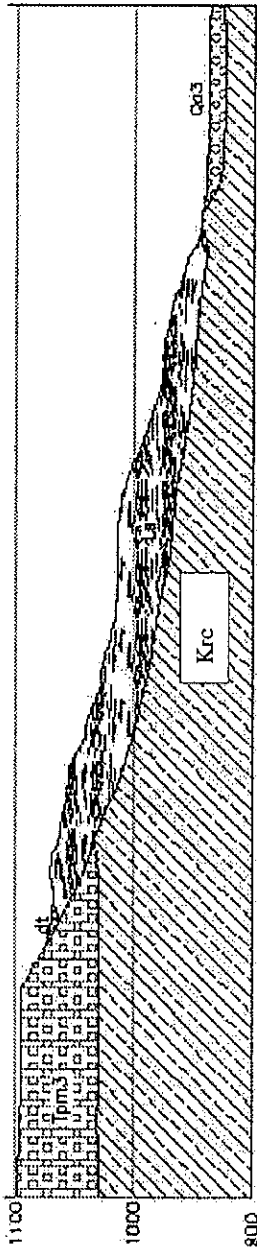




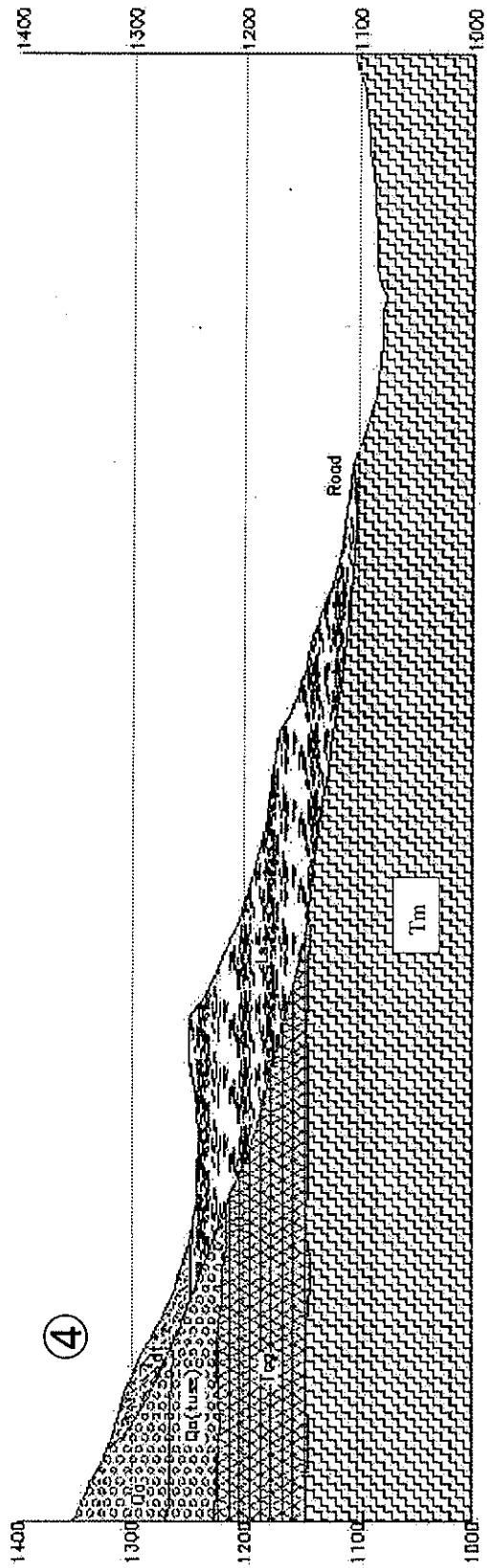
②



①



③



④

Figura 2.32

Estructura Geológica del Deslizamiento

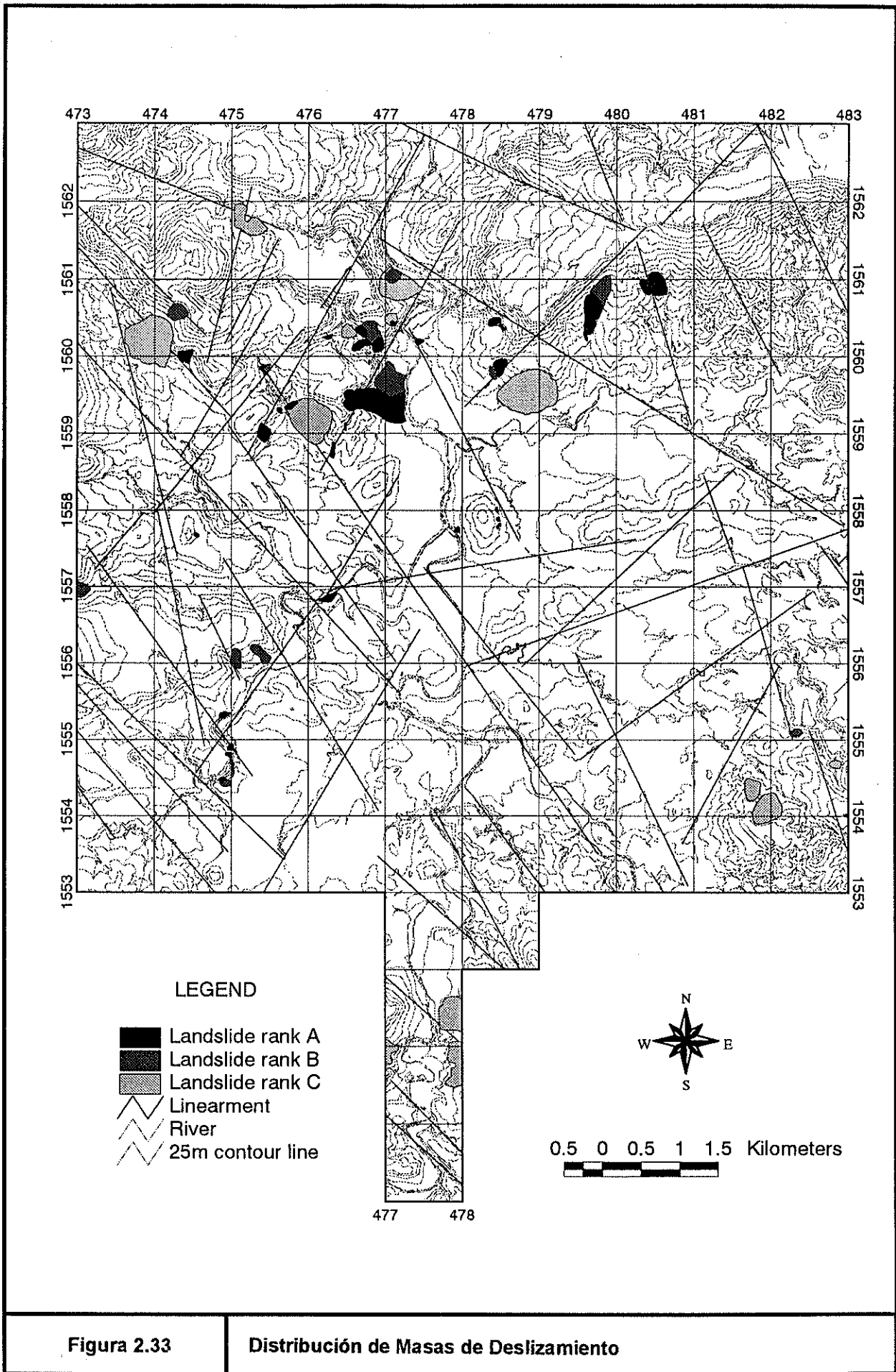


Figura 2.33

Distribución de Masas de Deslizamiento

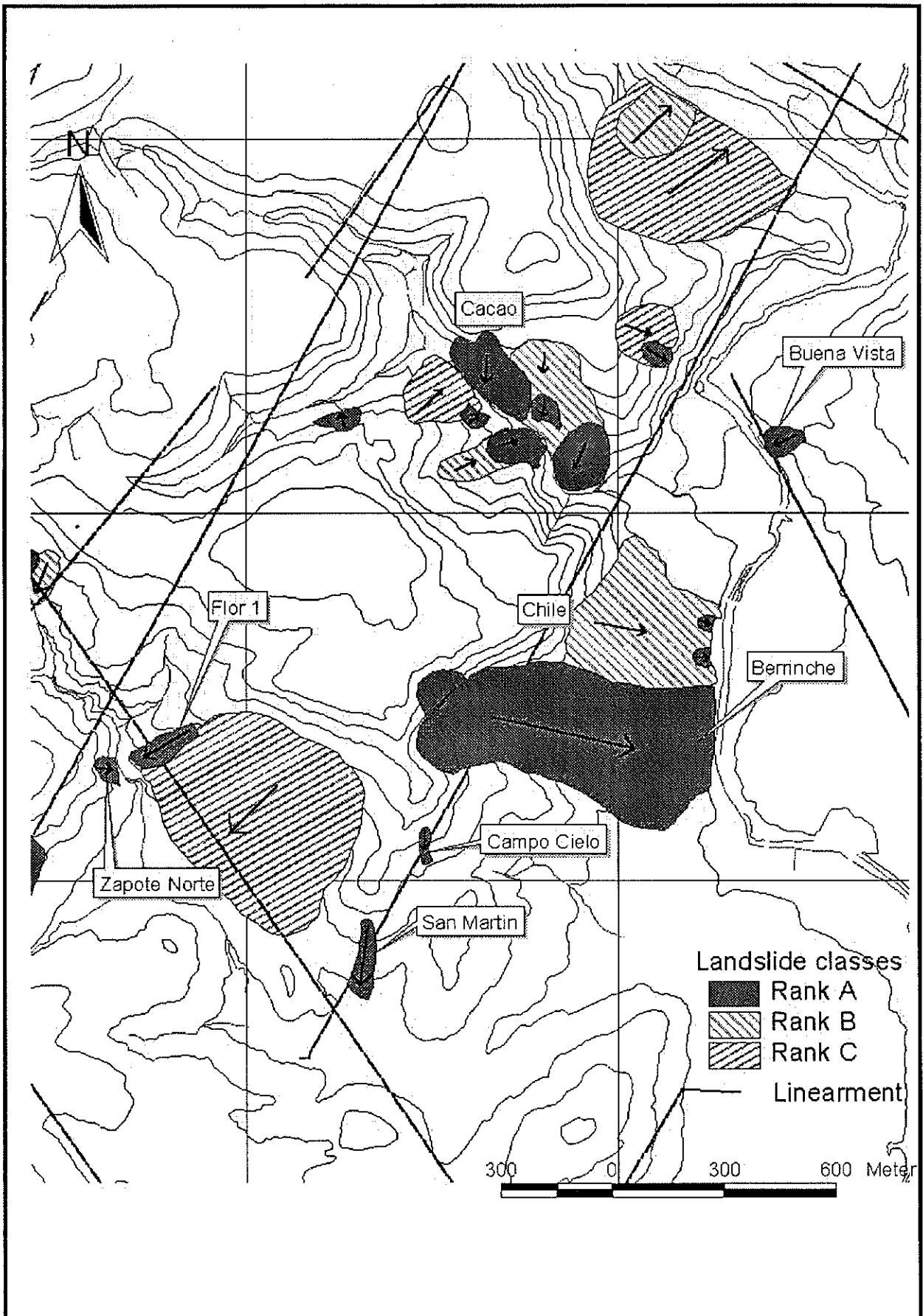


Figura 2.34

Distribución de Masas de Deslizamiento (Parte norte del Area)

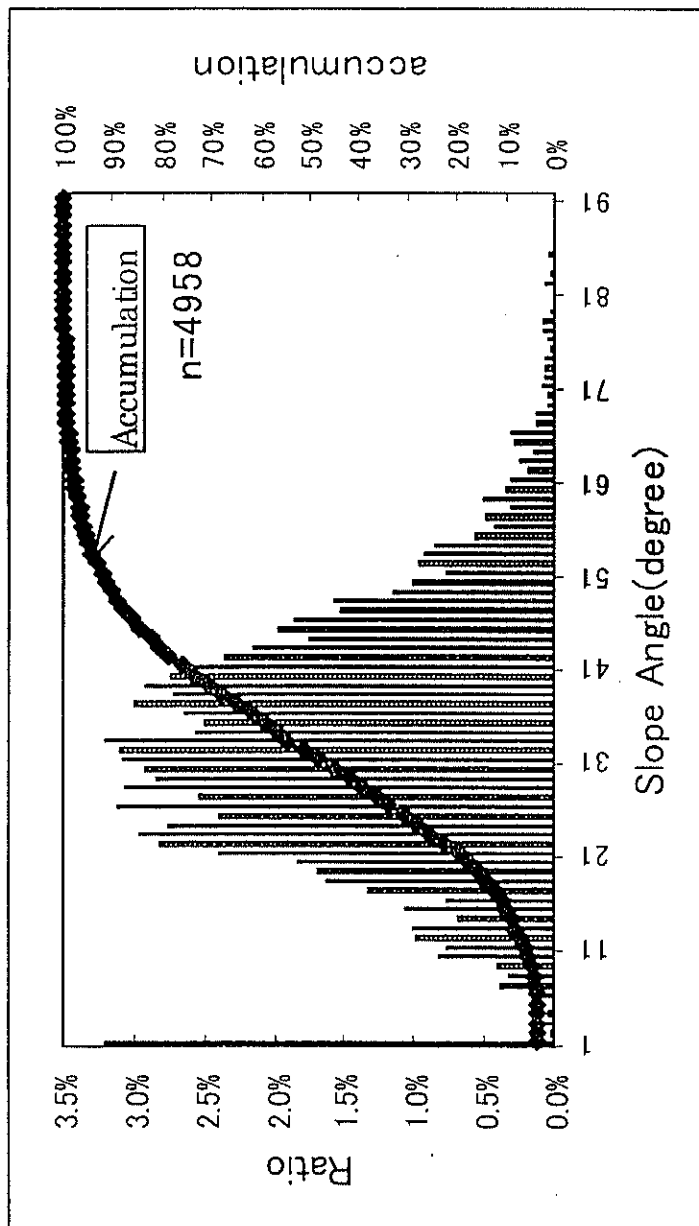


Figura 2.35

Inclinación de Pendiente de Derrumbamiento de Talud